



دانشگاه بوعلی سینا

دانشکده فنی و مهندسی

پایان نامه کارشناسی ارشد مکانیک- طراحی کاربردی

عنوان:

مطالعه تحلیلی، عددی و آزمایشگاهی فرآیند اکستروژن مستقیم کرنش صفحه‌ای

استاد راهنمای:

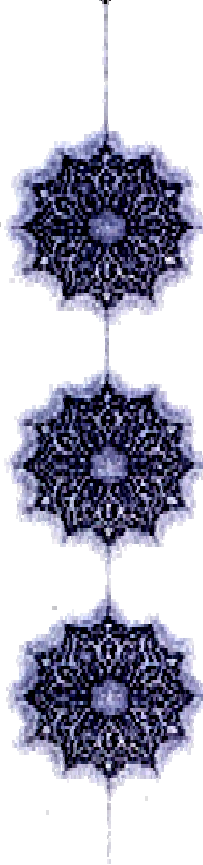
دکتر فرامرز فرشته صنعتی

پژوهشگر:

سعیده خوار

پاییز ۸۸

الله
يَسِّرْ



تَقْدِيمٌ بِهِ مَرَاةٌ هُمْشِكِي امْ كَهْ وَجُودُ شَانْ نَعْمَتْ اسْتْ وَلَطْفَشَانْ مَثْ

تَعْدِيمٌ بِهِ عَزِيزَانْمُ

مَدَار

فَوْ

مَادَر

وَخُواهِرَم

وَبِهِ پَاسِ الطَّافِ بِي دِيغَشَانْ

نام خانوادگی: فخار	نام: نعیمه
عنوان پایان نامه:	
مطالعه تحلیلی، عددی و آزمایشگاهی فرآیند اکستروژن مستقیم کرنش صفحه‌ای	
استاد راهنمای: دکتر فرامرز فرشته صنیعی	
مقطع تحصیلی: کارشناسی ارشد	رشته: مهندسی مکانیک
دانشگاه: بوعالی سینا همدان	دانشکده: مهندسی
تاریخ دفاعیه: ۱۳۸۸/۷/۱۱	
واژه‌های کلیدی: اکستروژن مستقیم کرنش صفحه‌ای، بهینه‌سازی، پروفیل قالب، نیروی شکل دهنده	
چکیده:	
<p>فرآیند اکستروژن و در کل، تمامی فرآیندهای شکل دهنده فلز بدین علت که علاوه بر تولید محصولی با شکل دلخواه منجر به افزایش استحکام محصول نیز می‌گردد، توجه هم‌مان صنعتگران و محققان را به خود جلب نموده‌اند. یکی از مشخصه‌های مهم در فرآیندهای شکل دهنده از جمله اکستروژن، مقدار نیروی لازم برای انجام فرآیند می‌باشد که با کمینه کردن آن از ظرفیت پرس مورد نیاز کاسته شده و عمر قالب افزایش می‌یابد. در این پایان نامه با سه روش عددی، تجربی و تحلیلی به بررسی پارامترهای مؤثر بر نیروی شکل دهنده در فرآیند اکستروژن مستقیم کرنش صفحه‌ای پرداخته شده است. روش تعادل نیروها برای حل تحلیلی مسئله و نرم افزار Deform 2D برای مطالعه عددی فرآیند به کار گرفته شده‌اند. پارامترهای مورد بررسی، نوع پروفیل قالب، نسبت اکستروژن و نوع روانکار بوده است. نوع پروفیل قالب، در سه سطح پروفیل نمایی، خطی و چند جمله‌ای مرتبه دو، نسبت اکستروژن در سه سطح $ER=2, 2.5, 3$ و روانکاری با پودر سنبلاده، واژلین+تیتانیا و حالت خشک مورد بررسی قرار گرفته‌اند. هدف اصلی این تحقیق طراحی و معرفی پروفیل قالبی است که بتواند کمترین نیرو را برای ایجاد تغییر شکل مصرف کند. برای دستیابی به این هدف، با استفاده از روش تعادل نیروها و با به کار گیری بهینه‌سازی به روش الگوریتم ژنتیک، پروفیل‌های نمایی و مرتبه دوم در سه نسبت اکستروژن مختلف بهینه‌سازی شده‌اند. از روش طراحی آزمایش‌ها برای تحلیل نتایج به دست آمده از روش تجربی و روش عددی کمک گرفته شده و در این قسمت میزان اثر گذاری پارامترهای مختلف بر نیروی شکل دهنده و سطوح بهینه هر پارامتر تعیین</p>	

شده‌اند. در انتها نتایج حل تحلیلی، عددی و تجربی با یکدیگر مقایسه شده‌اند.

نتایج به دست آمده با هر سه روش تحلیلی، عددی و تجربی نشان داد که پروفیل چند جمله‌ای مرتبه دوم در مقایسه با دو پروفیل دیگر، کمترین نیرو را برای ایجاد تغییر شکل مصرف می‌کند. با افزایش نسبت اکستروژن، مقدار نیروی مورد نیاز برای شکل‌دهی نیز افزایش می‌یابد. اما هر سه روش تحلیلی، عددی و تجربی ثابت کرده است که مقدار افزایش نیرو با افزایش نسبت اکستروژن کاهش می‌یابد. اگرچه روش‌های عددی و تحلیلی نشان می‌دهند که با افزایش مقدار ضریب اصطکاک مربوط به هر روانکار، نیروی مورد نیاز برای شکل‌دهی نیز افزایش می‌یابد، اما در روش تجربی این روند برای روانکار واژلین+تیتانیا مشاهده نشده است. تحلیل آماری آزمایش‌های تجربی به روش تاگوچی نیز نشان داد که پارامتر نسبت اکستروژن، بیشترین تأثیر را نسبت به پارامترهای دیگر، بر نیروی مورد نیاز برای شکل‌دهی داشته است. مقایسه نتایج تجربی، عددی و تحلیلی نیز نشان داد که روش عددی در مقایسه با روش تحلیلی تطابق بهتری با نتایج آزمایش‌ها داشته است.

مشکر و قدردانی

مشکر خدا که حرج چه طلب کردم از خدا

بر تهمای هست خود کامران شدم

پاس و سایش خدای را که بار دیگر توفیق پیدا و پنهانش یاری ام نمود تابوتاً نام این مرحله از زندگی علمی ام را با موقیت به تمام بر سانم و تقدیر و مشکراز:

پدر و مادر عزیزم که معنای تمام زندگی ام هستند و بعد از خداوند ب هستین حامی و پشتیبان من در تمام زندگی. از این رو، واژه مشکر کلمه ای ناتوان در پاس از ایشان است.

جناب آقای دکتر صنعتی که راهنمایی بی بی من است ایشان در طول این مدت مورد سایش بوده است. بی شک تأکیدی ایشان باید افتخار و مبارک است من است.

به چنین از همکاری آقایان مهندس خالدزاده و پانده کمال مشکر را در ارم.

از همراهی خواهر عزیزم مسافخوار و دوستان خوبم بهار آهو قلندری، ماریتا کریمی، نیم دانی و نفیسه خدایاری، و نزیر آقایان محمد رضا آرش، مجید مرتضوی، پیام ورثوی، فرزان برآتی، و تمامی دوستانی که در تمامی محظوظات انجام این پایان نامه با محبت های خود مسیر حرکت را برای من پر از شور و اشتیاق کرده اند، مشکر و قدردانی می نایم.

نعمتیه فخار

پائیز ۱۳۸۸

فصل اول: مقدمه‌ای بر فرآیند اکستروژن	۱
۱-۱ مقدمه	۲
۲-۱ فرآیندهای شکل دهی فلز	۲
۳-۱ طبقه بندی فرآیندهای شکل دهی فلز	۳
۴-۱ فرآیند اکستروژن	۵
۵-۱ انواع فرآیندهای اکستروژن	۸
۶-۱ متغیرهای اکستروژن	۹
۶-۱-۱ نوع اکستروژن	۱۰
۶-۱-۲ پروفیل قالب	۱۱
۶-۱-۳ نسبت اکستروژن	۱۱
۶-۱-۴ دمای کاری	۱۲
۶-۱-۵ سرعت کوبه	۱۲
۶-۱-۶ شرایط اصطکاکی در قالب و محفظه	۱۳
۷-۱ معرفی پایان نامه حاضر	۱۴
فصل دوم: تحلیل فرآیند اکستروژن مستقیم	۱۷
۱-۲ مقدمه	۱۸
۲-۲ روش‌های تحلیل فرآیند اکستروژن	۱۹
۳-۲ روش حد بالایی	۲۱
۳-۲-۱ مروری بر تحقیقات گذشته در روش حد بالایی	۲۴
۳-۲-۲ کاربرد روش حد بالایی در اکستروژن کرنش صفحه‌ای	۲۷
۴-۲ روش تعادل نیروها (روش قاچی)	۳۲
۴-۲-۱ کاربرد روش تعادل نیروها در اکستروژن کرنش صفحه‌ای	۳۴
فصل سوم: بهینه‌سازی پروفیل قالب	۳۹

۴۰	۱-۳ مقدمه
۴۱	۲-۳ الگوریتم ژنتیک
۴۲	۳-۳ تعاریف کلی اجزای الگوریتم ژنتیک
۴۳	۱-۳-۳ نمایش جمعیت و کروموزوم
۴۳	۲-۳-۳ تابع هدف و تابع برازش
۴۳	۳-۳-۳ انتخاب
۴۴	۴-۳-۳ تقاطع
۴۴	۵-۳-۳ جهش
۴۴	۴-۳ نقاط قوت الگوریتم‌های ژنتیک
۴۶	۳-۵ الگوریتم ژنتیک در <i>Matlab</i>
۴۸	۳-۶ روش‌های بهینه‌سازی پروفیل قالب
۵۳	۷-۳ روش بهینه‌سازی پروفیل قالب در تحقیق حاضر
۵۴	۱-۷-۳ بهینه‌سازی پروفیل مرتبه دوم
۵۵	۲-۷-۳ بهینه‌سازی پروفیل نمایی
۵۸	فصل چهارم: آزمایش‌های عملی و بررسی نتایج تجربی
۵۹	۱-۴ مقدمه
۶۰	۲-۴ تعیین تجربی منحنی تنش-کرنش ماده
۶۱	۱-۲-۴ آزمایش فشار استوانه
۶۲	۲-۲-۴ روش ضریب اصلاح تحدب (<i>BCFM</i>)
۶۳	۳-۲-۴ روش ضریب اصلاح عددی
۶۴	۳-۴ تعیین ضرائب اصطکاک
۶۸	۴-۴ آزمایش‌های عملی
۶۹	۱-۴-۴ ساخت نمونه‌ها
۷۰	۲-۴-۴ تعیین سرعت
۷۲	۴-۴-۴ نتایج آزمایش فشار

۷۴	۴-۴ نتایج آزمایش فشار حلقه.....
۷۸	۵-۴ ساخت قالبها
۸۰	۶-۴ آزمایش‌های اکستروژن
۸۱.....	۴-۵ نتایج آزمایش‌های اکستروژن
۸۱	۱-۵-۴ بررسی اثر پروفیل قالب
۸۷	۲-۵-۴ بررسی اثر نسبت اکستروژن
۹۳	۳-۵-۴ بررسی اثر اصطکاک
۹۹	۴-۶ بررسی عوامل خطأ در آزمایش‌ها.....
۱۰۰	۷-۴ بررسی تکرار پذیری آزمایش‌ها
 فصل پنجم: شبیه‌سازی اجزاء محدود فرآیند اکستروژن	
۱۰۲	۱-۵ مقدمه.....
۱۰۴	۲-۵ توصیف عمومی روش اجزاء محدود
۱۰۷	۳-۵ معرفی نرم افزار <i>Deform 2D</i>
۱۰۷	۴-۵ نحوه شبیه‌سازی در <i>Deform</i>
۱۱۴	۱-۴-۵ شبیه‌سازی آزمایش فشار
۱۱۷	۲-۴-۵ شبیه‌سازی آزمایش حلقه
۱۱۸	۳-۴-۵ شبیه‌سازی آزمایش‌های اکستروژن
۱۱۹.....	۵-۵ نتایج شبیه‌سازی‌های فرآیند اکستروژن
۱۲۰	۱-۵-۵ بررسی اثر پروفیل قالب
۱۲۵	۲-۵-۵ بررسی نسبت اکستروژن
۱۳۰	۳-۵-۵ بررسی اثر اصطکاک
 فصل ششم: تحلیل آزمایش‌ها به روش تاگوچی و طرح‌های عاملی	
۱۳۷	۱-۶ مقدمه.....

۶-۲ روش طراحی آزمایش‌ها (DOE).....	۱۳۹
۶-۳ تحلیل واریانس آزمایش‌های عاملی	۱۴۰
۶-۴ طرح‌های غربالی	۱۴۶
۱-۴-۶ طرح‌های عاملی کسری $2f$	۱۴۷
۶-۴-۶ روش تاگوچی در طراحی آزمایش‌ها.....	۱۴۸
۱-۲-۴-۶ روش طراحی پارامتر تاگوچی	۱۴۹
۲-۴-۶ تجزیه و تحلیل داده‌ها و نتیجه‌گیری	۱۵۰
۳-۲-۴-۶ آرایه $L_9 3^4$	۱۵۱
۶-۵ تحلیل آماری آزمایش‌های اکستروژن	۱۵۲
۱-۵-۶ تحلیل توسط روش تاگوچی	۱۵۳
۶-۵-۶ تحلیل عاملی کامل آزمایش‌ها	۱۵۸
فصل هفتم: مقایسه نتایج روش‌های مختلف برای ارزیابی نیروی اکستروژن	۱۶۱
۱-۷ مقدمه.....	۱۶۲
۷-۲ تعیین نیرو با روش تعادل نیروها	۱۶۲
۷-۳ بررسی پارامترهای مؤثر بر فرآیند با روش تعادل نیروها.....	۱۶۵
۱-۳-۷ بررسی اثر پروفیل قالب	۱۶۵
۲-۳-۷ بررسی اثر نسبت اکستروژن	۱۶۷
۳-۳-۷ بررسی اثر روانکار	۱۶۹
۷-۴ مقایسه نتایج تحلیلی، عددی و تجربی	۱۷۱
۷-۵ بحث و بررسی نتایج	۱۷۶
فصل هشتم: خلاصه، نتیجه‌گیری و پیشنهادها.....	۱۷۸
۱-۸ خلاصه.....	۱۷۹
۲-۸ نتیجه‌گیری	۱۸۰
۳-۸ پیشنهادها	۱۸۱

پیوست

۱۸۳

مراجع

۱۸۷

فهرست اشکال

صفحه

شکل ۱-۱: طبقه‌بندی فرآیندهای شکل دهی بر اساس استاندارد DIN8582	۵
شکل ۱-۲: نمای کلی فرآیند اکستروژن مستقیم و اجزاء آن	۷
شکل ۱-۳: (الف) اکستروژن غیر مستقیم، (ب) اکستروژن جانبی	۹
شکل ۱-۴: جریان ماده در فرآیند اکستروژن	۱۴
شکل ۲-۱: ناپیوستگی سرعت در امتداد مرزهای دو ناحیه مجاور از منطقه تغییر شکل پلاستیکی یک جسم	۲۴
شکل ۲-۲: دامنه و یک سطح جریان برای اکستروژن تقارن محوری	۲۶
شکل ۲-۳: میدان سرعت مجاز سینماتیکی	۲۹
شکل ۲-۴: المان حجمی انتخاب شده از ناحیه تغییر شکل	۳۴
شکل ۲-۵: تنش‌های اعمال شده بر المان	۳۶
شکل ۳-۱: نمایی از جعبه ابزار الگوریتم ژنتیک در Matlab	۴۸
شکل ۳-۲: روش قاچی نمود برای پروفیل‌های منحنی شکل	۵۰
شکل ۳-۳: توصیف منحنی‌های بزر	۵۲
شکل ۳-۴: کاربرد منحنی‌های بزر برای تولید قالب اکستروژن	۵۲
شکل ۴-۱: نمای شماتیک آزمایش فشار با وجود اصطکاک بین سطحی و پارامترهای هندسی آزمایش	۶۴
شکل ۴-۲: تغییرات تنش اصطکاکی برای سه مدل اصطکاک	۶۶
شکل ۴-۳: اثر مقدار اصطکاک بر جریان فلز در آزمایش حلقه	۶۷
شکل ۴-۴: منحنی تنش-کرنش سرب با اعمال ضریب اصلاح تحدب تحلیلی	۷۴
شکل ۴-۵: منحنی تنش-کرنش سرب با اعمال ضریب اصلاح عددی	۷۵
شکل ۴-۶: حلقه اصلی و نمونه‌های دیگر پس از انجام آزمایش حلقه با روانکارهای مختلف	۷۷

..... ۷۷ شکل ۴-۷: نمودار کالیبراسیون اصطکاکی عددی و نتایج آزمایش فشار حلقه
..... ۷۹ شکل ۴-۸: نمایی از مجموعه قالب‌ها، از سمت راست به ترتیب محفظه نگهدارنده، یک نمونه قالب اصلی با پروفیل خطی، سنبه و صفحه جلویی دیده می‌شود
..... ۸۱ شکل ۴-۹: یک نمونه از بیلت اولیه به همراه سه محصول به دست آمده، به ترتیب از سمت راست، در قالب نمایی، خطی و مرتبه دوم
..... ۸۳ شکل ۴-۱۰: مقایسه نیرو در پروفیل‌های مختلف قالب برای $ER = 2$ و روانکار پودر سنباده
..... ۸۳ شکل ۴-۱۱: مقایسه نیرو در پروفیل‌های مختلف قالب برای $ER = 2$ در حالت خشک
..... ۸۴ شکل ۴-۱۲: مقایسه نیرو در پروفیل‌های مختلف قالب برای $ER = 2$ و روانکار واژلین+تیتانیا
..... ۸۴ شکل ۴-۱۳: مقایسه نیرو در پروفیل‌های مختلف قالب برای $ER = 2.5$ و روانکار پودر سنباده
..... ۸۵ شکل ۴-۱۴: مقایسه نیرو در پروفیل‌های مختلف قالب برای $ER = 2.5$ در حالت خشک
..... ۸۵ شکل ۴-۱۵: مقایسه نیرو در پروفیل‌های مختلف قالب برای $ER = 2.5$ و روانکار واژلین+تیتانیا
..... ۸۶ شکل ۴-۱۶: مقایسه نیرو در پروفیل‌های مختلف قالب برای $ER = 3$ و روانکار پودر سنباده
..... ۸۶ شکل ۴-۱۷: مقایسه نیرو در پروفیل‌های مختلف قالب برای $ER = 3$ در حالت خشک
..... ۸۷ شکل ۴-۱۸: مقایسه نیرو در پروفیل‌های مختلف قالب برای $ER = 3$ و روانکار واژلین+تیتانیا
..... ۸۹ شکل ۴-۱۹: مقایسه نیرو در نسبت‌های مختلف اکستروژن برای قالب نمایی با روانکار پودر سنباده
..... ۸۹ شکل ۴-۲۰: مقایسه نیرو در نسبت‌های مختلف اکستروژن برای قالب نمایی در حالت خشک
..... ۸۹ شکل ۴-۲۱: مقایسه نیرو در نسبت‌های مختلف اکستروژن برای قالب نمایی با روانکار واژلین+تیتانیا
..... ۹۰ شکل ۴-۲۲: مقایسه نیرو در نسبت‌های مختلف اکستروژن برای قالب خطی با روانکار پودر سنباده
..... ۹۰ شکل ۴-۲۳: مقایسه نیرو در نسبت‌های مختلف اکستروژن برای قالب خطی در حالت خشک
..... ۹۱ شکل ۴-۲۴: مقایسه نیرو در نسبت‌های مختلف اکستروژن برای قالب خطی با روانکار واژلین+تیتانیا
..... ۹۱ شکل ۴-۲۵: مقایسه نیرو در نسبت‌های مختلف اکستروژن برای قالب مرتبه دوم با روانکار پودر سنباده

شکل ۴-۲۶: مقایسه نیرو در نسبت‌های مختلف اکستروژن برای قالب مرتبه دوم در حالت خشک ۹۲	۹۲
شکل ۴-۲۷: مقایسه نیرو در نسبت‌های مختلف اکستروژن برای قالب مرتبه دوم با روانکار واژلین+تیتانیا ۹۲	۹۲
شکل ۴-۲۸: تغییر مقدار نیرو با تغییر نوع روانکار در قالب نمایی و در $ER = 3$ ۹۴	۹۴
شکل ۴-۲۹: تغییر مقدار نیرو با تغییر نوع روانکار در قالب نمایی و در $ER = 2.5$ ۹۵	۹۵
شکل ۴-۳۰: تغییر مقدار نیرو با تغییر نوع روانکار در قالب نمایی و در $ER = 2$ ۹۵	۹۵
شکل ۴-۳۱: تغییر مقدار نیرو با تغییر نوع روانکار در قالب خطی و در $ER = 3$ ۹۶	۹۶
شکل ۴-۳۲: تغییر مقدار نیرو با تغییر نوع روانکار در قالب خطی و در $ER = 2.5$ ۹۶	۹۶
شکل ۴-۳۳: تغییر مقدار نیرو با تغییر نوع روانکار در قالب خطی و در $ER = 2$ ۹۷	۹۷
شکل ۴-۳۴: تغییر مقدار نیرو با تغییر نوع روانکار در قالب مرتبه دوم و در $ER = 3$ ۹۷	۹۷
شکل ۴-۳۵: تغییر مقدار نیرو با تغییر نوع روانکار در قالب مرتبه دوم و در $ER = 2.5$ ۹۸	۹۸
شکل ۴-۳۶: تغییر مقدار نیرو با تغییر نوع روانکار در قالب مرتبه دوم و در $ER = 2$ ۹۸	۹۸
شکل ۴-۳۷: بررسی تکرار پذیری آزمایش اکستروژن در قالب خطی ۱۰۰	۱۰۰
شکل ۴-۳۸: بررسی تکرار پذیری آزمایش در قالب مرتبه دوم ۱۰۱	۱۰۱
شکل ۴-۳۹: بررسی تکرار پذیری آزمایش در قالب نمایی ۱۰۱	۱۰۱
شکل ۵-۱: پنجه کنترل شبیه‌سازی در قسمت اصلی ۱۰۹	۱۰۹
شکل ۵-۲: پنجه کنترل شبیه‌سازی در قسمت Step ۱۱۰	۱۱۰
شکل ۵-۳: پنجه مربوط به تنظیمات اجسام ۱۱۱	۱۱۱
شکل ۵-۴: تعریف یک ماده جدید ۱۱۱	۱۱۱
شکل ۵-۵: وارد کردن منحنی تنش-کرنش ماده ۱۱۲	۱۱۲
شکل ۵-۶: تعیین خصوصیات تماس بین اجسام ۱۱۳	۱۱۳

- شکل ۵-۷: تعیین نوع نمودار مورد نیاز برای جسم مورد نظر ۱۱۵
- شکل ۵-۸: نمونه شبیه‌سازی شده آزمایش فشار، از سمت راست به ترتیب قبل و بعد از انجام آزمایش ۱۱۶
- شکل ۵-۹: مقایسه نمودار نیرو-تغییر مکان آزمایش فشار و شبیه‌سازی آن با استفاده از منحنی تنش-کرنش نهایی به دست آمده برای سرب ۱۱۷
- شکل ۵-۱۰: نمونه شبیه‌سازی شده آزمایش حلقه، از راست به ترتیب، قبل و بعد از انجام آزمایش، با ضریب اصطکاک $m=0.4$ ۱۱۸
- شکل ۵-۱۱: یک نمونه مدل‌سازی شده آزمایش اکستروژن با قالب نمایی، از راست به ترتیب، قبل و بعد از انجام شبیه‌سازی ۱۱۹
- شکل ۵-۱۲: مقایسه نیرو در شبیه‌سازی پروفیل‌های مختلف قالب برای $ER = 2$ و روانکار پودر سنپاده ۱۲۱
- شکل ۵-۱۳: مقایسه نیرو در شبیه‌سازی پروفیل‌های مختلف قالب برای $ER = 2$ در حالت خشک ۱۲۲
- شکل ۵-۱۴: مقایسه نیرو در شبیه‌سازی پروفیل‌های مختلف قالب برای $ER = 2$ و روانکار واژلین+تیتانیا ۱۲۲
- شکل ۵-۱۵: مقایسه نیرو در شبیه‌سازی پروفیل‌های مختلف قالب برای $ER = 2.5$ و روانکار پودر سنپاده ۱۲۲
- شکل ۵-۱۶: مقایسه نیرو در شبیه‌سازی پروفیل‌های مختلف قالب برای $ER = 2.5$ در حالت خشک ۱۲۳
- شکل ۵-۱۷: مقایسه نیرو در شبیه‌سازی پروفیل‌های مختلف قالب برای $ER = 2.5$ و روانکار واژلین+تیتانیا ۱۲۳
- شکل ۵-۱۸: مقایسه نیرو در شبیه‌سازی پروفیل‌های مختلف قالب برای $ER = 3$ و روانکار پودر سنپاده ۱۲۴
- شکل ۵-۱۹: مقایسه نیرو در شبیه‌سازی پروفیل‌های مختلف قالب برای $ER = 3$ در حالت خشک ۱۲۴
- شکل ۵-۲۰: مقایسه نیرو در شبیه‌سازی پروفیل‌های مختلف قالب برای $ER = 3$ و روانکار واژلین+تیتانیا ۱۲۵
- شکل ۵-۲۱: مقایسه نیرو در شبیه‌سازی نسبت‌های مختلف اکستروژن برای قالب نمایی با روانکار پودر سنپاده ۱۲۶
- شکل ۵-۲۲: مقایسه نیرو در شبیه‌سازی نسبت‌های مختلف اکستروژن برای قالب نمایی در حالت خشک ۱۲۶
- شکل ۵-۲۳: مقایسه نیرو در شبیه‌سازی نسبت‌های مختلف اکستروژن برای قالب نمایی با روانکار واژلین+تیتانیا ۱۲۷
- شکل ۵-۲۴: مقایسه نیرو در شبیه‌سازی نسبت‌های مختلف اکستروژن برای قالب خطی با روانکار پودر سنپاده ۱۲۷

شکل ۲۵-۵: مقایسه نیرو در شبیه‌سازی نسبت‌های مختلف اکستروژن برای قالب خطی در حالت خشک ۱۲۸

شکل ۲۶-۵: مقایسه نیرو در شبیه‌سازی نسبت‌های مختلف اکستروژن برای قالب خطی با روانکار وازلین+تیتانیا ۱۲۸

شکل ۲۷-۵: مقایسه نیرو در شبیه‌سازی نسبت‌های مختلف اکستروژن برای قالب مرتبه دوم با روانکار پودر سنبلاده ۱۲۹

شکل ۲۸-۵: مقایسه نیرو در شبیه‌سازی نسبت‌های مختلف اکستروژن برای قالب مرتبه دوم در حالت خشک ۱۳۰

شکل ۲۹-۵: مقایسه نیرو در شبیه‌سازی نسبت‌های مختلف اکستروژن برای قالب مرتبه دوم با روانکار وازلین+تیتانیا... ۱۳۰

شکل ۳۰-۵: تغییر مقدار نیرو با تغییر نوع روانکار در شبیه‌سازی قالب نمایی برای $ER = 3$ ۱۳۲

شکل ۳۱-۵: تغییر مقدار نیرو با تغییر نوع روانکار در شبیه‌سازی قالب نمایی برای $ER = 2.5$ ۱۳۳

شکل ۳۲-۵: تغییر مقدار نیرو با تغییر نوع روانکار در شبیه‌سازی قالب نمایی برای $ER = 2$ ۱۳۴

شکل ۳۳-۵: تغییر مقدار نیرو با تغییر نوع روانکار در شبیه‌سازی قالب خطی برای $ER = 3$ ۱۳۴

شکل ۳۴-۵: تغییر مقدار نیرو با تغییر نوع روانکار در شبیه‌سازی قالب خطی برای $ER = 2.5$ ۱۳۵

شکل ۳۵-۵: تغییر مقدار نیرو با تغییر نوع روانکار در شبیه‌سازی قالب خطی برای $ER = 2$ ۱۳۵

شکل ۳۶-۵: تغییر مقدار نیرو با تغییر نوع روانکار در شبیه‌سازی قالب مرتبه دوم برای $ER = 3$ ۱۳۵

شکل ۳۷-۵: تغییر مقدار نیرو با تغییر نوع روانکار در شبیه‌سازی قالب مرتبه دوم برای $ER = 2.5$ ۱۳۶

شکل ۳۸-۵: تغییر مقدار نیرو با تغییر نوع روانکار در شبیه‌سازی قالب مرتبه دوم برای $ER = 2$ ۱۳۶

شکل ۶-۱: تغییرات مقادیر هشدار به اغتشاش با تغییر سطوح هر عامل در آزمایش‌های عملی فرآیند اکستروژن مستقیم ۱۵۶

شکل ۶-۲: تغییرات مقادیر هشدار به اغتشاش با تغییر سطوح هر عامل در شبیه‌سازی فرآیند اکستروژن مستقیم ۱۵۷

شکل ۶-۳: تغییرات مقادیر نیرو با تغییر سطوح هر عامل در آزمایش‌های عملی فرآیند اکستروژن مستقیم ۱۵۸

شکل ۶-۴: تغییرات مقادیر نیرو با تغییر سطوح هر عامل در شبیه‌سازی فرآیند اکستروژن مستقیم ۱۵۸

شکل ۶-۵: تغییرات میانگین مقادیر نیرو با تغییر سطح هر عامل در آزمایش‌های تجربی فرآیند اکستروژن مستقیم ۱۶۰

شکل ۷-۱: بررسی اثر پروفیل قالب بر نیروی مصرفی در فرآیند اکستروژن برای نسبت‌های مختلف اکستروژن با روانکار پودر
سنپاده ۱۶۶

شکل ۷-۲: بررسی اثر پروفیل قالب بر نیروی مصرفی در فرآیند اکستروژن برای نسبت‌های مختلف اکستروژن در حالت
بدون روانکار ۱۶۷

شکل ۷-۳: بررسی اثر پروفیل قالب بر نیروی مصرفی در فرآیند اکستروژن برای نسبت‌های مختلف اکستروژن با روانکار
وازلین+تیتانیا ۱۶۸

شکل ۷-۴: بررسی اثر نسبت اکستروژن بر نیروی اکستروژن برای روانکارهای مختلف با به کارگیری پروفیل قالب نمایی
۱۶۹

شکل ۷-۵: بررسی اثر نسبت اکستروژن بر نیروی اکستروژن برای روانکارهای مختلف با به کارگیری پروفیل قالب خطی
۱۷۰

شکل ۷-۶: بررسی اثر نوع روانکار بر نیروی مصرفی در فرآیند اکستروژن برای پروفیلهای مختلف در $ER=3$ ۱۷۱

شکل ۷-۷: بررسی اثر نوع روانکار بر نیروی مصرفی در فرآیند اکستروژن برای پروفیلهای مختلف در $ER=2.5$ ۱۷۲

فهرست جداول

صفحه

جدول ۱-۴: سرعت کوبه برای آزمایش‌های اکستروژن ۷۳
جدول ۱-۶: داده‌های یک آزمایش تک عاملی ۱۴۱
جدول ۲-۶: تحلیل واریانس برای مدل تک عاملی ۱۴۲
جدول ۳-۶: تحلیل واریانس طرح‌های سه عاملی کلی ۱۴۴
جدول ۴-۶: آرایه L_3^4 و تاگوچی ۱۵۲
جدول ۵-۶: پارامترهای فرآیند و سطوح آنها ۱۵۳
جدول ۶-۶: تحلیل آزمایش‌ها با روش تاگوچی ۱۵۴
جدول ۷-۶: میزان مشارکت پارامترهای مختلف در فرآیند اکستروژن مستقیم ۱۵۵
جدول ۸-۶: آزمایش‌های انجام شده و نتایج بهدست آمده از آنها ۱۶۰
جدول ۱-۷: مقایسه نیروهای بهدست آمده از سه روش تحلیلی، عددی و تجربی برای اکستروژن مستقیم ۱۷۳

فصل اول

مقدمه‌اي بر فرآيندا كستروژن

۱-۱ مقدمه

تولید، یک فعالیت بشری است که همه‌ی جنبه‌های زندگی را تحت تأثیر قرار می‌دهد و همواره در خدمت پیشرفت بشر بوده است، بدون آن، بسیاری از امکانات مدرن امروزی قابل دستیابی نبودند. تولید، چیزی را که جز هنر و علم تبدیل ماده به محصولات نهایی مفید و قابل فروش نیست. تولید را می‌توان ساخت کالاها و اجزاء با دست و یا به صورت ماشینی و در مقیاس وسیع نیز تعریف نمود. نیاز صنایع امروزی، بهره‌وری بالا با رعایت دقیق ابعادی خواسته شده و پرداخت سطح بهتر نسبت به کاربرد محصول است [۱].

مهندسي، تولید تنوع گسترده‌ای از زمینه‌ها مانند تولید اتموبیل‌ها، هواپیماها، موشک‌ها، ابزارهای ماشین، تجهیزات کشاورزی و مانند آن را شامل می‌شود. صنایع از میلیون‌ها انسان، ابزار تولید، ماشین، فرآیند و دیگر امکانات مرتبط و مقادیر زیادی پول برای شکل دادن و تولید موادی که مورد نیاز بشر است، استفاده می‌کنند. نیاز به افزایش نرخ تولید برای برآوردن تقاضاهای زیاد، همزمان با معرفی فرآیندهای جدید و سریع، استفاده از ابزارهای گران و ماشین‌ها را ضروری ساخته است. یکی از این فرآیندهای تولید که در دهه‌های اخیر رشد چشمگیری یافته است، فرآیند شکل‌دهی فلز است که خود دارای شاخه‌های گوناگونی می‌باشد [۱].

۱-۲ فرآیندهای شکل دهی فلز

در اینجا منظور از شکل‌دهی فلز نوعی عملیات و فرآیند تولیدی است که طی آن، شکل معلوم و مشخص یک قطعه جامد بدون اینکه تغییری در جرم، حجم و ترکیب مادی قطعه رخ دهد، به طور دائم تغییر کند. ویژگی اصلی و ممتاز این فرآیند، کنترل خواص مکانیکی در حین شکل‌دهی می‌باشد. مثلاً تخلخل در یک شمش ریختگی ممکن است توسط آهنگری گرم یا نورد گرم از بین رود تا نرمی و چقرمگی در قطعه ایجاد شود. در بسیاری از محصولات، خواص مکانیکی به کنترل کار سختی حین فرآیند بستگی دارد که این نیز